连云港田湾海域沉积物中放射性核素分布与沉积速率

左书华1, 韩志远1, 李为华2, 谢华亮1, 李怀远1

(1.交通运输部天津水运工程科学研究所港口水工建筑技术国家工程实验室工程泥沙交通行业重点实验室,天津300456; 2.华东师范大学河口海岸学国家重点实验室,上海200062)

摘 要:本文基于连云港田湾海域沉积物中放射性核素含量的测定结果,分析了表层沉积物中放射性核素含量的平面分布和柱状沉积物中放射性核素含量及垂向分布特征,并讨论了核素之间的内在关联和田湾近岸区的沉积速率。结果显示:(1)田湾海域表层沉积物类型基本为粉砂质黏土和黏土质粉砂,其中值粒径约为 0.006 mm,平均黏土含量约为 45%,属典型淤泥质海岸沉积物特征;(2)表层沉积物中某一放射性核素(210 Pb、 238 U、 228 Ra、 40 K、 226 Ra、 228 Th、 137 Cs)比活度变化较大,但总体上处于相同水平;(3) 210 Pb、 226 Ra、 238 U 和 228 Th 垂向比 活度 范围分别为 $32.6 \sim 48.8$ Bq/kg、 $17.6 \sim 33.3$ Bq/kg、 $15.1 \sim 40.8$ Bq/kg 和 $40.31 \sim 86.9$ Bq/kg,各核素含量随深度增加的变化规律有所不同;(4)柱状样中垂向上 210 Pb/ 226 Ra 活度比值为 $1.2 \sim 2.6$,均值为 1.5, 210 Pb 明显过剩,且其过剩量与埋深有较明显的关系;(5)田湾附近 50 多年来的平均沉积速率为 2.3 cm/a,60 cm 以浅的沉积速率约为 3.0 cm/a,60 cm 以深的沉积速率约为 1.0 cm/a;60 cm 以浅的沉积速率较快,可能与近年来周边工程较多(田湾跨海大桥、取排水口、港区扩建等)有关。 关键词: 沉积物;放射性核素;高纯锗 γ 能谱仪;连云港;田湾

中图分类号: P736 文献标识码: A 文章编号: 1007-6336(2021)05-0745-07

Radionuclide distribution in sediments and sedimentary rates in the Tianwan sea area of Lianyungang

ZUO Shu-hua¹, HAN Zhi-yuan¹, LI Wei-hua², XIE Hua-liang¹, LI Huai-yuan¹ (1.Tianjin Research Institute for Water Transport Engineering, National Engineering Laboratory for Port Hydraulic Construction Technology, Key Laboratory of Engineering Sediment of Ministry of Transport, Tianjin 300456, China; 2.State Key Laboratory of Estuarine and Coastal Research, East China Normal University, Shanghai 200062, China)

Abstract: Radionuclides in sediments of the Tianwan sea area were measured using the HPGe γspectrum method. Based on the data of sediments' radionuclide content, the horizontal distribution of radionuclide content in surface sediments and the vertical distribution of radionuclide content in columnar sediments were analyzed, and the intrinsic correlation between the nuclides and the deposition rate in the near shore area of Tianwan were also discussed. The results showed that the surface sediments in the Tianwan sea area were basically silty clay and clayey silty sand, with an average median particle size of about 0.006 mm and an average clay content of about 45%, which are typical silty coastal sediments. Although the radioactive nuclide specific activities of ²¹⁰Pb, ²²⁸Ra, ⁴⁰K, ²²⁶Ra, ²²⁸Th, and ¹³⁷Cs in surface sediment varied greatly, the horizontal level of individual radionuclide was similar. The range of vertical specific activity of ²¹⁰Pb, ²²⁶Ra, ²³⁸U and ²²⁸Th was 32.6 ~ 48.8 Bq/kg, 17.6 ~ 33.3 Bq/kg, 15.1 ~ 40.8 Bq/kg and 40.3 ~ 86.9 Bq/kg, and each nuclide content changing with depth increase volatility rule was different. In the columnar

收稿日期:2020-03-18,修订日期:2020-12-06

基金项目:中央级公益性科研院所基本科研业务费项目(TKS170202, TKS180101, TKS180405); 上海市科技创新行动计划项目 (19DZ1204300); 国家自然科学基金项目(51509120, 51779112)

作者简介:左书华(1979—), 男, 河北邱县人, 研究员, 博士, 主要从事河口海岸动力沉积与动力地貌研究, E-mail: zsh0301@163.com

sample, the vertical activity ratio of ²¹⁰Pb/²²⁶Ra was between 1.2 and 2.6, with the mean value of 1.5. Excess of ²¹⁰Pb was obvious in comparison with ²²⁶Ra and the excess was significantly related to the buried depth. Over the past 50 years, the average deposition rate near Tianwan was 2.3 cm/a, the deposition rate of column samples less than 60 cm was about 3.0 cm/a, and that of column samples greater than 60 cm was about 1.0 cm/a. deposition rate from 0 cm to 60 cm was relatively fast, which may be related to the influence of surrounding projects (Tianwan Cross-sea Bridge, drainage outlet, port expansion, etc.), and the deposition rate from 60 m to 100 cm was relatively slow and stable.

Key words: sediments; radioactive nuclide; γ energy disperse spectroscopy; Lianyungang; Tianwan

近岸海洋环境中存在着大量的天然和人工 放射性核素。海洋沉积物作为放射性核素的载 体,记录了它们随海洋动力迁移转化等环境变化 的信息,其中的放射性核素分布可以反映和佐证 海域的泥沙来源, 推求海域沉积速率和建立年代 序列等,是研究海洋环境变化的良好工具[1-6]。 天然放射性核素²¹⁰Pb、²³⁸U、²²⁶Ra、²²⁸Th、⁴⁰K以 及人工放射性核素¹³⁷Cs 是海洋沉积过程的良好 示踪剂,特别是²¹⁰Pb 和¹³⁷Cs,其半衰期适中,是研 究近海沉积过程和沉积速率最常用的核素[1]。 许多学者针对近海表层沉积物、沉积物岩心、潮 间带和周围陆地沉积物中放射性核素分布特征 开展了大量研究,如杜金秋等[1]对大连近海海 域、李培泉等[2]对渤海近岸区域、刘广山等[3]对 胶州湾海域、李冬梅等[4-5] 对福建兴化湾和广东 大亚湾海域、林武辉等[6] 对北部湾海域中若干表 层沉积物和沉积岩心中的放射性核素含量分布 与沉积环境等特征以及与海洋环境之间的关系 进行了研究。

连云港位于江苏省北部海州湾西南岸,海岸带资源丰富,沿海分布着连云港港和田湾核电站等重要设施,是我国沿海中部能源外运和对外贸易运输的重要口岸^[7]。连云港海域一直以来都是我国河口海岸研究学者的重点研究海域。就目前而言,多数研究成果集中在海域的水沙环境^[7-8]、沉积物分布特征^[9-10]和工程建设对海域水沙环境影响等方面^[11-12]。然而,在滨海核电快速发展的背景下,对田湾核电站附近海域海洋沉积物中放射性核素的分布却鲜有报道。目前的文献中,仅有彭俊等^[9]采用²¹⁰Pb 测年法对连云港近岸海域的表层沉积物和柱状样进行了分析,研究了表层沉积物的粒度参数特征和近岸沉积速率的变化;刘晗晗等^[13]对田湾核电站附近海域

海水中¹³⁷Cs 活度浓度进行了监测与分析,并对 其含量进行了评价。近年来,随着连云港主港区 扩建、田湾核电站取排水口工程与连云港徐圩 港区的建设等,沉积环境受到的影响也越来越严 重,并且核素含量分布特征不仅可以用来评价核 电站液态排出物对环境的影响,也可以反映我国 典型海域的放射性核素含量水平。

本研究基于连云港田湾海域 48 个表层沉积 物和 1 个柱状沉积物样品,利用高纯锗(HPGe) γ 能谱仪的测定结果,全面分析田湾附近表层 沉积物和柱状沉积物中²¹⁰Pb、²³⁸U、²²⁸Ra、⁴⁰K、²²⁶Ra、²²⁸Th 等天然放射性核素和人工放射性核素(¹³⁷Cs)的含量水平与垂向分布特征,探讨沉积 物的物源和沉积速率,为连云港海域的放射性核素含量水平和海洋沉积过程的示踪应用奠定基础。

1 材料与方法

1.1 研究海域概况

田湾是位于连云港主港区与徐圩港区之间 的水域,田湾核电站工程是依据中俄两国政府协 议合作建设的大型核能项目。该海域潮汐特征 主要受控于南黄海驻波系统,属非正规浅海半日 潮型,多年实测资料显示其平均潮差为 3.64 m^[7], 属于中强度潮汐海区。近岸区潮流多为往复流, 呈南北向,与等深线走向基本一致,外海深水区 为逆时针旋转流。大潮全潮平均流速一般为 0.20~0.40 m/s, 最大流速为 0.50~0.70 m/s。波 浪以风浪为主,常浪向为 NE 向和 E 向,出现频 率分别为 26.41%、18.40%, 平均 H_{1/10} 波高分别 为 0.7 m 和 0.5 m; 强浪向为 NNE 向和 NE 向, 最 大波高分别为 5.0 m、4.2 m^[7]。田湾附近海域的 平均含沙量为 0.10~0.20 kg/m³, 外海域一般为 0.1 kg/m³以下。台风期间, 田湾海域近底层含沙 量达到 5.0 kg/m³ 以上[7]。

田湾核电站附近有排淡河、烧香河等小型河流输入,并无流量记录,再向南有灌河河口。灌河是一条较大的入海河流,年均径流量为15亿 m³,平均流量为50 m³/s。

1.2 样品采集与预处理

2017年12月在连云港田湾海域采集了48个海床表层沉积物样品(图1)。样品为采用蚌式抓斗采样器采集表层以下5~10 cm 的泥样,采样点覆盖整个研究海域。每次采样前后清洗采样器,以防样品污染,每个采样点分别采集两次(分别用于粒度分析和放射性核素测量分析),样品采集后充分搅拌混合,经现场描述后装袋标识,运回实验室以备分析。

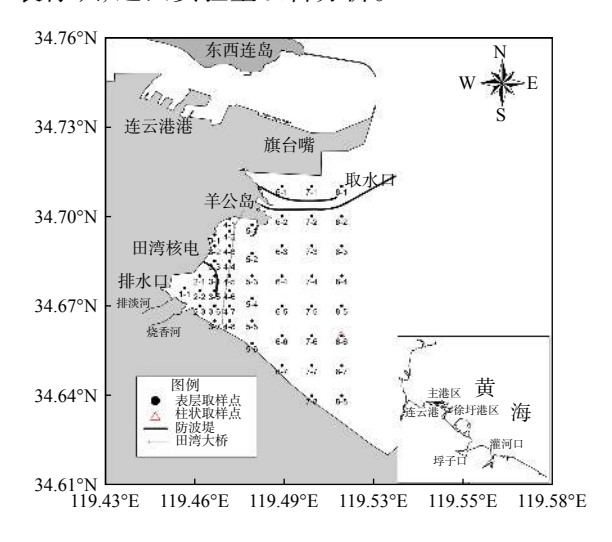


图 1 研究区取样点位

Fig. 1 Sampling point of the study area

同时在 8-6#站位进行柱状样采样,取样深度 为 1 m。所取柱状样密封后送实验室,按照 2 cm 间隔分样,对样品进行烘干、研磨,再进行粒度 和核素含量测定。

1.3 粒度参数与核素含量的测定

(1)所采样品经实验室处理后,采用英国马尔文公司的 MS2000 激光粒度分析仪进行粒度测试,然后根据《海洋调查规范》(GB/T 12763.8-2007)^[14]对粒度参数(中值粒径、分选系数、偏度、组分含量等)进行计算,并划分粒级标准和进行沉积物命名。

(2)将沉积物样品放入烘箱内,在 110 $^{\circ}$ 下 烘干、研磨,装入 ϕ 75 mm×50 mm 的聚乙烯塑料样品盒封装 20 天,使用高纯锗(HPGe) γ 谱仪(美

国 Canberra 公司出品, 探测器为 BE5030 型, 晶体尺寸为 ϕ 80.5 mm×31.0 mm, 可测量 γ 射线能量范围为 3 keV ~ 3 MeV), 测定放射性核素含量。操作过程严格按照相关规范执行^[15-16]。

2 结果与讨论

2.1 沉积物粒度特征

连云港海域海岸类型丰富多样,由北向南依次分布有砂质海岸、基岩海岸及淤泥质海岸,其中田湾所在海域以淤泥质海岸为主。

由图 2 可以看出, 田湾海域表层沉积物类型以粉砂质黏土和黏土质粉砂为主, 仅田湾大桥下有一个中细砂样品; 表层沉积物中值粒径为0.0023~0.027 mm; 表层沉积物黏土含量, 基本为26.8%~70.2%, 平均值为45%, 属典型淤泥质海岸沉积物特征。

2.2 表层沉积物中放射性核素平面分布

田湾海域表层沉积物中²¹⁰Pb、²³⁸U、²²⁸Ra、 ⁴⁰K、²²⁶Ra、²²⁸Th、¹³⁷Cs 几种核素的比活度变化范 围分别为 43.9~54.2 Bg/kg、36.7~47.9 Bg/kg、 45.2 ~ 49.0 Bq/kg, 876 ~ 905 Bq/kg, 19.5 ~ 29.9 Bq/kg、46.0~55.7 Bq/kg 和 1.37~2.99 Bq/kg; 平 均值分别为 50.9 Bq/kg、40.0 Bq/kg、46.7 Bq/kg、 899 Bq/kg, 25.2 Bq/kg, 51.7 Bq/kg, 2.01 Bq/kg_o 各断面核素活动水平如表 1 所示。本研究海域 沉积物中放射性核素²³⁸U、²¹⁰Pb、⁴⁰K、¹³⁷Cs 总体 呈现"内高外低"向外散射状的空间分布,²²⁸Ra 则总体呈现"内低外高"的空间分布。²²⁸Th 活度含量较大的区域主要集中在田湾跨海大桥 沿线。各核素平面分布如图 3 所示。各点某一 核素含量虽然有一些变化,但总体上均处于相同 水平。每个站点各核素出现的极大值不一样,与 离岸距离并没有明显的关系。

根据本文的研究结果,结合其他文献报道的数据^[17],田湾海域表层沉积物中⁴⁰K含量明显高于我国其他海域;²³⁸U含量与胶州湾相当,高于渤海湾和珠江口,低于兴化湾、大亚湾和黄茅海海域;²¹⁰Pb含量与长江口崇明东滩接近,高于胶州湾而明显低于南海海域诸湾;²²⁶Ra、²²⁸Ra、²²⁸Th含量与其他海域总体处于相同水平;¹³⁷Cs含量明显低于渤海湾,总体高于其他南部海域。

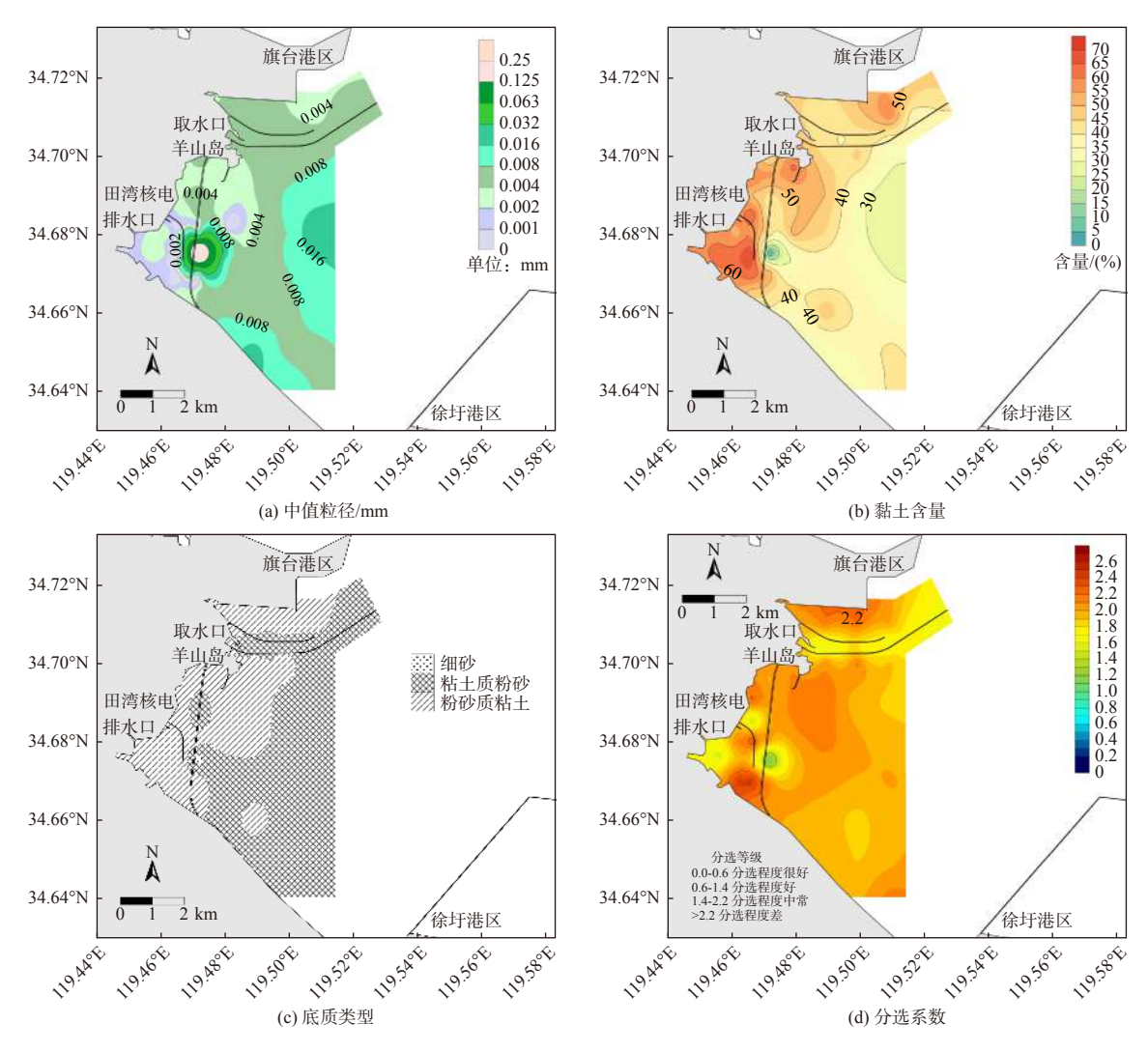


图 2 田湾海域表层沉积物特征

Fig. 2 Surface sediment characteristics of Tianwan sea area

表 1 各断面放射性核素平均比活度(Bq/kg)

Tab.1 Average radioactivity of nuclides in each section

断面号	²¹⁰ Pb	²³⁸ U	²²⁸ Ra	⁴⁰ K	²²⁶ Ra	²²⁸ Th	¹³⁷ Cs
1#	55.3±6.24	45.1±6.12	44.1±2.42	920±10.2	28.9±0.99	54.1±1.42	1.42±0.57
2#	53.6±7.21	38.0±8.14	46.2±3.78	895±14.6	21.3±0.98	52.2±2.16	1.31±0.56
3#	50.7±7.06	41.5±7.05	47.9±3.80	914±15.2	24.4±1.11	53.4±1.88	1.16±0.60
4#	47.3±7.36	41.8±6.48	47.7±3.64	915±15.4	24.6±0.91	55.1±1.87	1.08±0.58
5#	49.1±6.25	40.4±6.28	47.5±3.95	907±14.7	26.6±0.85	52.4±1.87	1.05±0.51
6#	51.0±6.37	41.2±6.50	47.5±4.01	904±14.6	27.4±0.87	50.9±1.84	1.06±0.45
7#	53.8±5.96	42.9±6.21	47.6±3.63	876±14.5	26.6±0.94	50.9±1.91	1.06±0.45
8#	52.9±5.69	38.5±6.17	47.4±3.49	875±13.1	27.4±0.90	49.7±1.70	1.06 ± 0.37

2.3 柱状沉积物中放射性核素垂向分布

在 8-6#站位采样的柱状沉积物中 210 Pb、 226 Ra、 238 U 和 228 Th 4 种核素的垂向分布如图 4 所示。 210 Pb 垂向比活度范围为 32.6 ~ 48.8 Bq/kg, 平均值为

40.2 Bq/kg, 从表层以下总体呈减小的趋势。²²⁶Ra 垂向比活度范围为 17.6~33.3 Bq/kg, 平均值为 26.6 Bq/kg, 20 cm 以浅该核素含量波动较大, 20 cm 以深波动较小, 且总体随深度增加呈略有增加的

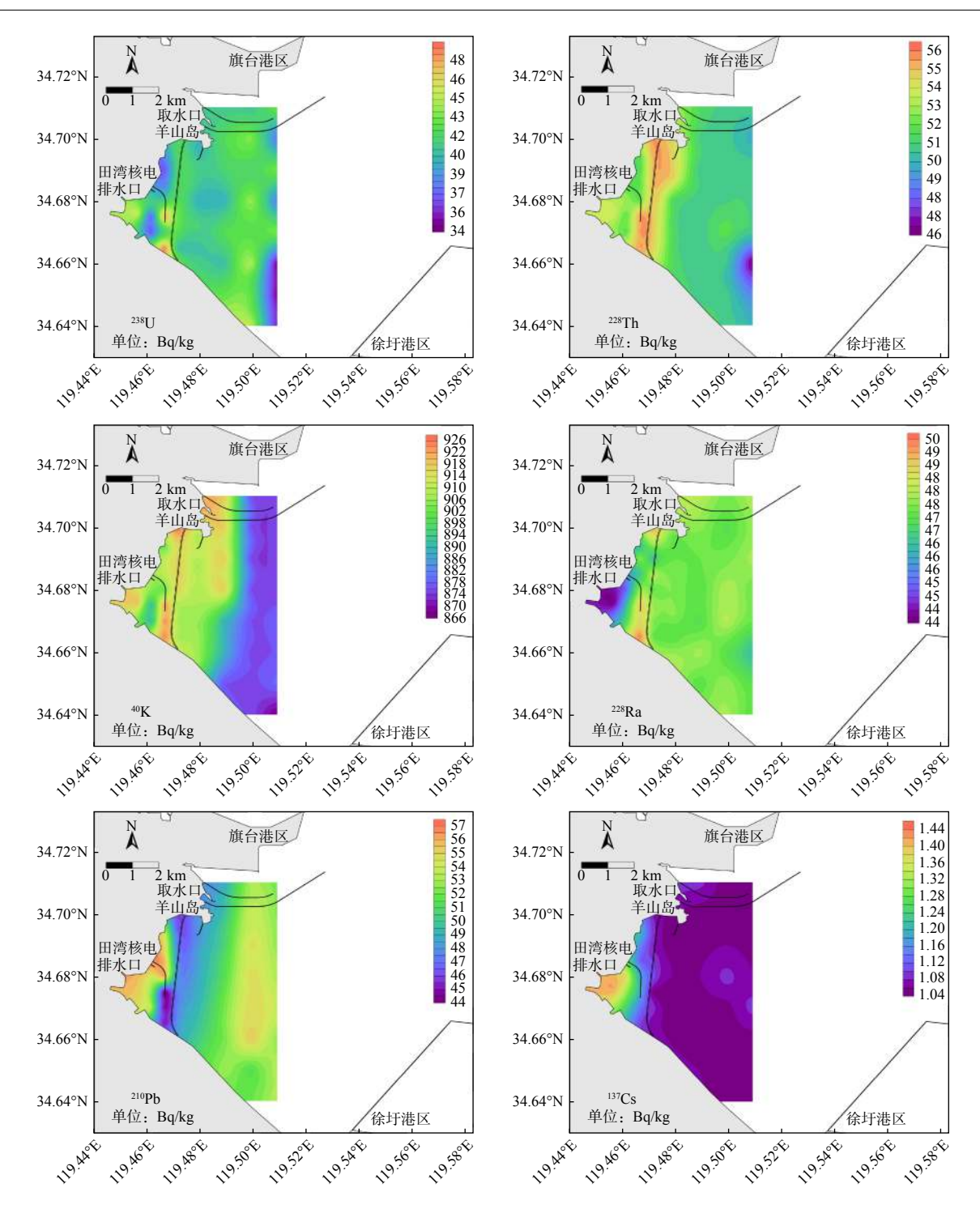


图 3 表层沉积物中放射性核素平面分布

Fig. 3 Horizontal distribution of radionuclides in surface sediment

趋势。²³⁸U垂向比活度范围为 15.1~40.8 Bq/kg, 平均值为 27.1 Bq/kg, 总体随深度增加呈减小趋势。²²⁸Th垂向比活度范围为 40.3~86.9 Bq/kg, 平均值为 59.7 Bq/kg; 20 cm 以浅比活度没有变化, 20 cm 以深波动变化较大, 且总体呈增加趋势。柱状样中垂向上²¹⁰Pb/²²⁶Ra 的活度为 1.2~

2.6, 均值为 1.5, 这表明该海域沉积物中²¹⁰Pb 过剩明显, 且其过剩量与埋深有较明显的关系。

2.4 核素之间的联系

田湾表层沉积物中放射性核素的水平分布 总体上呈现出由陆向海降低的趋势,表明陆源物 质(河流汇入、雨水汇入等)的输入是其近海沉

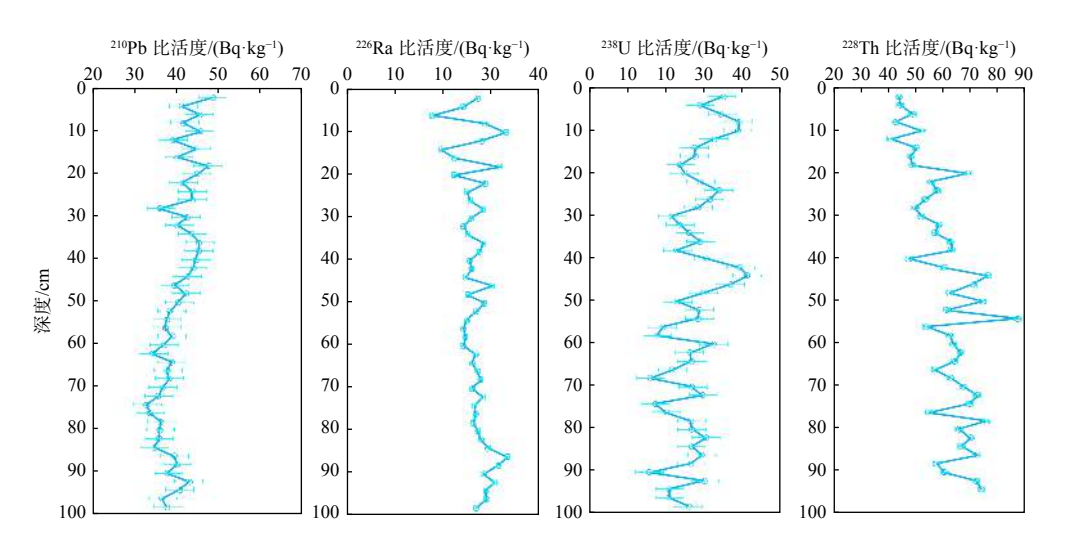


图 4 柱 8-6#放射性核素比活度垂向分布

Fig. 4 Vertical distribution of radionuclide content in Columnar sample 8-6#

积物的主要来源。核素含量分布水平除了受到 物源影响外,各放射性核素的空间分布也存在一 定的内在联系。²³⁸U、²²⁶Ra和²¹⁰Pb 同属铀系衰 变系列核素,其核素比活度之间的关系与衰变平 衡程度(物理过程)密切相关。然而,地表过程中 存在活跃且复杂的物理-生物地球化学过程,使 其放射性呈衰变不平衡性^[6]。该海域²²⁶Ra/²³⁸U、 ²¹⁰Pb/²²⁶Ra 的比活度变化范围分别为 0.53 ~ 0.87 和 1.62~2.70, 平均值分别为 0.64 和 2.08; ²²⁶Ra/²³⁸U 大于 0.5 而小于 1, 即 226 Ra 和 238 U 处于放射性不 平衡状态。该结果与文献[6]中报道的"大部分 情况下海洋沉积物中²²⁶Ra/²³⁸U活度比值一般为 0.5~1.0"的结果相一致。²¹⁰Pb一部分来源于 ²²⁶Ra 衰变, 这部分²¹⁰Pb 通常与²²⁶Ra 达到衰变平 衡,另一部分来源于大气沉降,被称作过剩的 ²¹⁰Pb^[4]。 ²¹⁰Pb/²²⁶Ra 的比活度均大于 1.5, 均值为 2.08, 即该海域表层沉积物中²¹⁰Pb 过剩明显, 且 其过剩量与离岸距离没有明显的关系。该结果 表明, 大气来源的²¹⁰Pb 随颗粒物的沉降富集于 沉积物中的量明显大于母体²²⁶Ra 的衰变量。

 228 Ra 和 228 Th 均属钍系核素, 228 Th 主要来源于母体 228 Ra 的衰变,该海域 228 Th/ 228 Ra 的变化范围为 $0.99 \sim 1.17$,平均值为 1.11。该结果表明,田湾海域中 228 Th 相对于 228 Ra 的含量水平在实验测定下总体略有过剩。

²¹⁰Pb、²²⁸Th 均是颗粒活性较强的核素, 能够强烈吸附在颗粒物上。连云港田湾海域属于淤泥质海岸, 海床表层沉积物富有黏性和较好的附

着力,使活性较强的核素附着于水体颗粒物中,在沉积环境中富集于海床上。而²²⁸Ra则易于从颗粒物或沉积物中释放到海水中,造成了颗粒物或沉积物中²²⁸Th相对于²²⁸Ra略有过剩而不明显^[18]。过剩的²¹⁰Pb一部分来源于大气中的²²²Rn衰变后吸附于颗粒物上进入海洋,与其他由海水中的²²⁶Ra衰变产生的部分一起随颗粒物进入沉积物,从而造成沉积物中²¹⁰Pb相对于²²⁶Ra明显过剩。

2.5 沉积速率

沉积物柱状岩心能够记录海床沉积过程和环境变化信息。基于岩心计算的沉积速率则能反映沉积记录的环境信息,揭示沉积动力过程^[1-2,5]。²¹⁰Pb被认为是百年尺度内沉积测年的核元素,它常被用于沉积过程相对较稳定且沉积环境较封闭的连续沉积中^[19],在近海环境沉积速率研究中应用最为广泛。

 210 Pb 测年的基本原理: 首先测出各深度沉积物 210 Pb 活度,再减去 226 Ra 得到 过剩 210 Pb 值 (210 Pb_{ex})的剖面分布。 210 Pb_{ex} 法测定沉积速率要求柱状沉积物中 210 Pb_{ex} 的垂直分布呈指数衰减形式 $^{[1,20]}$,采用常量初始浓度模式 (constant initial concentration, 简称 CIC 模式)。 CIC 模式计算公式 $^{[20]}$ 如下:

$S = \lambda \times H/\ln\left(A_0/A_i\right)$

式中: S 为沉积速率(cm/a); λ 为²¹⁰Pb 衰变常数(0.031/a); A_0 、 A_i 分别为表层与深度 H 层的²¹⁰Pb_{ex},其中, $H/\ln(A_0/A_i)$ 由²¹⁰Pb_{ex} 取自然对数后与深度线性拟合直线的斜率求出。

图 5 为 8-6#柱状样的过剩²¹⁰Pb 垂向分布情况。从图 5 可以看出²¹⁰Pb_{ex} 的分布随沉积深度的变化,上层波动较大,可能是受到周围环境(工程建设、水动力变化等)扰动的影响;中、下层则相对稳定。总的来说,²¹⁰Pb_{ex} 随深度的增加而降低。根据上述计算方法,计算出 60 cm 以浅的沉积速率约为 3.0 cm/a, 60 cm 以深的沉积速率约为 1.0 cm/a, 50 多年来平均沉积速率为 2.3 cm/a。60 cm 以浅的沉积速率较快,可能与近年来周边工程较多(田湾跨海大桥、取排水口、港区扩建等)有关,60 cm 以深的沉积则较为缓慢和稳定。

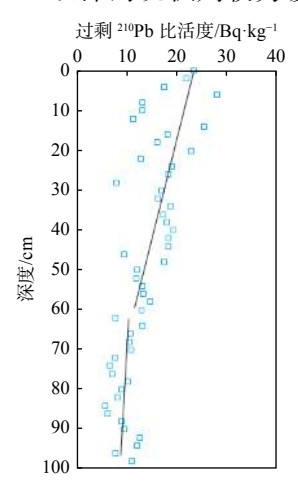


图 5 ²¹⁰Pb_{ex} 垂向分布

Fig. 5 Vertical distribution of excess ²¹⁰Pb

3 结 论

- (1)田湾海域表层沉积物类型基本为粉砂质 黏土和黏土质粉砂,其中值粒径约为 0.006 mm, 平均黏土含量约为 45%,属典型淤泥质海岸沉积 物特征。
- (2)表层沉积物中某一放射性核素(²¹⁰Pb、²³⁸U、²²⁸Ra、⁴⁰K、²²⁶Ra、²²⁸Th、¹³⁷Cs)比活度变化较大,但总体上处于相同水平。表层²¹⁰Pb 过剩明显,其过剩量与离岸距离没有明显关系。²²⁸Th相对于²²⁸Ra含量水平略有过剩。
- $(3)^{10}$ Pb、 226 Ra、 238 U 和 228 Th 垂向比活度范围分别为 32.6~48.8 Bq/kg、17.6~33.3 Bq/kg、15.1~40.8 Bq/kg 和 40.3~86.9 Bq/kg,各核素含量随深度增加其波动变化规律有所不同。柱状样中垂向 210 Pb/ 226 Ra 活度比值为 1.2~2.6,均值为 1.5,沉积物中 210 Pb 过剩明显,且其过剩量与埋深有较

明显关系。

(4)田湾海域近50年的平均沉积速率为2.3 cm/a,60 cm以浅的沉积速率约为3.0 cm/a,60 cm以深的沉积速率约为1.0 cm/a。60 cm以浅的沉积速率较快,可能与近年来周边工程较多(田湾跨海大桥、取排水口、港区扩建等)有关,60 cm以深的沉积则较为缓慢和稳定。

参考文献:

- [1] 杜金秋, 关道明, 姚子伟, 等. 大连近海沉积物中放射性核素 分布及环境指示[J]. 中国环境科学, 2017, 37(5): 1889-1895.
- [2] 李培泉, 刘志和, 卢光山, 等. 渤海近岸区表层沉积物中U, Ra, Th, ⁴⁰K, ¹³⁷Cs的Ge(Li) γ谱仪测定及地球化学研究[J]. 海洋与湖沼, 1983, 14(4): 333-341.
- [3] 刘广山, 李冬梅, 易 勇, 等. 胶州湾沉积物的放射性核素含量分布与沉积速率[J]. 地球学报, 2008, 29(6): 769-777.
- [4] 李冬梅, 徐茂泉, 刘广山, 等. 福建兴化湾外近海沉积物岩心放射性核素分布[J]. 地球学报, 2005, 26(S1): 220-223.
- [5] 李冬梅,周 鹏,陈嘉辉,等.大亚湾核电海域沉积物岩心中放射性核素的垂向分布及其对沉积环境的示踪[J]. 海洋通报, 2013, 23(S1): 108-114.
- [6] 林武辉, 冯 禹, 余克服, 等. 北部湾沉积物中放射性核素的分布特征与控制因素[J]. 海洋学报, 2020, 42(2): 143-154.
- [7] 左书华, 杨 华, 张 娜, 等. 连云港徐圩港区航道大风天强 淤可能性分析[J]. 水道港口, 2013, 34(1): 26-32.
- [8] 赵洪波, 王广聚. 连云港海域波浪场数学模型研究[J]. 水道港口, 2007, 28(5): 322-324.
- [9] 彭 俊, 陈沈良. 连云港近岸海域沉积物特征与沉积环境分析[J]. 海洋科学进展, 2010, 28(4): 445-454.
- [10] 项立辉,安成龙,张晓飞,等. 连云港近岸海域表层沉积物沉积特征及粒径趋势分析[J]. 应用海洋学学报, 2015, 34(3): 317-325.
- [11] 李孟国, 李文丹. 连云港港扩建对田湾核电站取水影响及措施研究[J]. 水道港口, 2008, 29(4): 239-246.
- [12] 张世奇, 张燕菁, 陈金荣. 连云港核电站附近海域泥沙冲淤 计算研究[J]. 泥沙研究, 2004 (2): 27-32.
- [13] 刘晗晗, 姜孔华, 王志兵, 等. 田湾核电站附近海域海水中 ¹³⁷Cs活度浓度分析与评价[J]. 辐射防护, 2017, 37(5): 369-373.
- [14] GB/T 12763.8-2007, 海洋调查规范 第8部分: 海洋地质地球物理调查[S].
- [15] HY/T 003.8-1991, 海洋环境监测规范 放射性核素测定[S].
- [16] GB/T 7167-2008, 锗γ射线探测器测试方法[S].
- [17] 左书华, 韩志远, 谢华亮, 等. 连云港田湾海域表层沉积物中放射性核素含量水平[J]. 环境监测管理与技术, 2019, 31(6): 42-45
- [18] 吴梅桂,周 鹏,赵 峰,等. 阳江核电站附近海域表层沉积 物中γ放射性核素含量水平[J]. 海洋环境科学, 2018, 37(1): 43-47.
- [19] 段凌云, 王张华, 李茂田, 等. 长江口沉积物²¹⁰Pb分布及沉积 环境解释[J]. 沉积学报, 2005, 23(3): 514-522.
- [20] 万国江. 现代沉积的²¹⁰Pb计年[J]. 第四纪研究, 1997, 17(3): 230-239.